

文章编号:1007-2985(2010)06-0019-04

解 Schrödinger 方程的高精度外推差分格式*

热娜·阿斯哈尔, 阿布都热西提·阿布都外力

(新疆大学数学与系统科学学院, 新疆 乌鲁木齐 830046)

摘要:通过构造 Schrödinger 方程的 Crank-Nicolson 格式,再利用 Richardson 外推法得到了一种高精度差分格式,这种格式具有 $O(\tau^4 + h^4)$ 阶精度,且是无条件稳定的.数值算例表明,该算法比古典 Crank-Nicolson 格式精度更高.

关键词:Crank-Nicolson 格式;Richardson 外推算法;Schrödinger 方程;截断误差

中图分类号:O241.82

文献标志码:A

Schrödinger 方程在量子力学、非线性光学及流体力学中有广泛的应用.笔者主要研究一维 Schrödinger 方程的周期初值问题:

$$\begin{cases} \frac{\partial u}{\partial t} = i \frac{\partial^2 u}{\partial x^2} & 0 < x < L, 0 < t < T, \\ u(x, 0) = u_0(x) & 0 < x < L, \\ u(0, t) = u(L, t) = 0 & 0 < t < T. \end{cases} \quad (1)$$

这里 $u(x, t)$ 是复值函数, $i^2 = -1$, L 为周期, $u_0(x)$ 是以 L 为周期的已知周期函数.

用差分方法求解上述问题,目前已经有了一些较好的格式.由文献[1-3]可知,显格式常常对稳定性条件要求较苛刻,而文献[4-5]给出了稳定性较好的显式格式,但这些格式的截断误差阶都不高.文中首先构造截断误差为 $O(\tau^2 + h^2)$ 的 Crank-Nicolson 格式,然后以此格式为基础,用 Richardson 外推算法解 Schrödinger 方程,其截断误差阶可达 $O(\tau^4 + h^4)$.数值结果表明该算法具有很高的数值精度,是一种有效的算法.

1 差分格式的构造

记 $t_{k+\frac{1}{2}} = \frac{1}{2}(t_k + t_{k+1})$, $\delta_\tau u_j^{k+\frac{1}{2}} = \frac{1}{\tau}(u_j^{k+1} - u_j^k)$, $\delta_x^2 u_j^k = \frac{1}{h^2}(u_{j+1}^k - 2u_j^k + u_{j-1}^k)$. 在点 $(x_j, t_{k+\frac{1}{2}})$ 处考虑微分方程(1),有

$$\frac{\partial u}{\partial t}(x_j, t_{k+\frac{1}{2}}) - i \frac{\partial^2 u}{\partial x^2}(x_j, t_{k+\frac{1}{2}}) = 0 \quad 1 \leq j \leq m-1, 0 \leq k \leq n-1.$$

这里:将区间 $(0, L)$ 作 m 等分,取空间步长 h ;将区间 $(0, T)$ 作 n 等分,取时间步长 τ ; u_j^k 表示 $u(x, t)$ 在节点 $(jh, k\tau)$ 上的值;
 $x_j = jh, 0 \leq j \leq m; t_k = k\tau, 0 \leq k \leq n$.

应用公式

$$\begin{aligned} \frac{\partial^2 u}{\partial x^2}(x_j, t_{k+\frac{1}{2}}) &= \frac{1}{2} \left[\frac{\partial^2 u}{\partial x^2}(x_j, t_k) + \frac{\partial^2 u}{\partial x^2}(x_j, t_{k+1}) \right] - \frac{\tau^2}{8} \frac{\partial^4 u}{\partial x^2 \partial t^2}(x_j, \xi_{jk}), \\ \frac{\partial^2 u}{\partial x^2}(x_j, t_k) &= \delta_x^2 u_j^k - \frac{h^2}{12} \frac{\partial^4 u}{\partial x^4}(\xi_{jk}, t_k), \end{aligned}$$

* 收稿日期:2010-08-31

基金项目:国家自然科学基金资助项目(10961024);新疆高校科研计划资助项目(XJEDU2007I02)

作者简介:热娜·阿斯哈尔(1984-),女,新疆维吾尔族人,硕士研究生,主要从事偏微分方程数值解研究

通讯作者:阿布都热西提·阿布都外力(1963-),男(维吾尔族),新疆乌鲁木齐人,教授,博士后,主要从事偏微分方程数值解研究. E-mail: rashit@xju.edu.cn.

$$\frac{\partial u}{\partial t}(x_j, t_{k+\frac{1}{2}}) = \delta_t u_j^{k+\frac{1}{2}} - \frac{\tau^2}{24} \frac{\partial^3 u}{\partial t^3}(x_j, \eta_k),$$

其中

$$\xi_k \in (x_{j-1}, x_{j+1}), \zeta_k, \eta_k \in (t_k, t_{k+1}),$$

得到

$$\begin{cases} \delta_t u_j^{k+\frac{1}{2}} - i \delta_x^2 u_j^{k+\frac{1}{2}} = R_{jk}, & (4) \\ u_j^0 = u_0(x_j) & 0 \leq j \leq m, & (5) \\ u_0^k = u_m^k = 0 & 1 \leq k \leq n, & (6) \end{cases}$$

其中

$$R_{jk} = \left(\frac{1}{24} \frac{\partial^3 u}{\partial t^3}(x_j, \eta_k) - \frac{i}{8} \frac{\partial^4 u}{\partial x^2 \partial t^2}(x_j, \zeta_k) \right) \tau^2 - \frac{i}{24} \left(\frac{\partial^4 u}{\partial x^4}(\xi_k, t_k) + \frac{\partial^4 u}{\partial x^4}(\xi_{k+1}, t_{k+1}) \right) h^2$$

$$\xi_k \in (x_{j-1}, x_{j+1}), \zeta_k, \eta_k \in (t_k, t_{k+1}).$$

在(4)中略去小量项 R_{jk} , 得到如下 Crank-Nicolson 格式:

$$\begin{cases} \delta_t u_j^{k+\frac{1}{2}} - i \delta_x^2 u_j^{k+\frac{1}{2}} = 0 & 1 \leq j \leq m-1, 0 \leq k \leq n-1, & (7) \\ u_j^0 = u_0(x_j) & 0 \leq j \leq m, & (8) \\ u_0^k = u_m^k = 0 & 1 \leq k \leq n. & (9) \end{cases}$$

由文献[6]可知如下结论成立:

定理 1 Crank-Nicolson 格式(7)至(9)的截断误差为 $O(\tau^2 + h^2)$, 并且是无条件稳定的.

2 Richardson 外推法

记差分格式(7)至(9)的近似解为 $u_j^k(h, \tau)$.

定理 2 设定解问题

$$\begin{cases} \frac{\partial v}{\partial t} - i \frac{\partial^2 v}{\partial x^2} = p(x, t) & 0 < x < L, 0 < t < T, \\ v(x, 0) = 0 & 0 < x < L, \\ v(0, t) = v(L, t) = 0 & 0 < t < T \end{cases} \quad (10)$$

和

$$\begin{cases} \frac{\partial \omega}{\partial t} - i \frac{\partial^2 \omega}{\partial x^2} = q(x, t) & 0 < x < L, 0 < t < T, \\ \omega(x, 0) = 0 & 0 < x < L, \\ \omega(0, t) = \omega(L, t) = 0 & 0 < t < T \end{cases} \quad (11)$$

存在光滑解, 其中 $p(x, t) = \frac{1}{24} \frac{\partial^3 u}{\partial t^3}(x, t) - \frac{i}{8} \frac{\partial^4 u}{\partial x^2 \partial t^2}(x, t)$, $q(x, t) = -\frac{i}{12} \frac{\partial^4 u}{\partial x^4}(x, t)$, 则有

$$u_j^k(h, \tau) = u(x_j, t_k) - (\tau^2 v(x_j, t_k) + h^2 \omega(x_j, t_k)) + O(\tau^4 + h^4),$$

$$\max_{\substack{1 \leq j \leq m-1 \\ 1 \leq k \leq n-1}} |u(x_j, t_k) - (\frac{4}{3} u_{2j}^{2k}(\frac{h}{2}, \frac{\tau}{2}) - \frac{1}{3} u_j^k(h, \tau))| = O(\tau^4 + h^4).$$

证明 设 $\{u(x, t) \mid 0 < x < L, 0 < t < T\}$ 为定解问题(1)至(3)的解, $\{u_j^k \mid 0 \leq j \leq m, 0 \leq k \leq n\}$ 为差分格式(7)至(9)的解. 记 $e_j^k = u(x_j, t_k) - u_j^k$. 将(4)至(6)式分别与(7)至(9)式相减, 得到误差方程如下:

$$\begin{cases} \delta_t e_j^{k+\frac{1}{2}} - i \delta_x^2 e_j^{k+\frac{1}{2}} = R_{jk}, & (12) \\ e_j^0 = 0 & 0 \leq j \leq m, & (13) \\ e_0^k = e_m^k = 0 & 1 \leq k \leq n. & (14) \end{cases}$$

细致分析可知 $R_{jk} = p(x_j, t_{k+\frac{1}{2}}) \tau^2 + q(x_j, t_{k+\frac{1}{2}}) h^2 + O(\tau^4 + h^4)$, 于是误差方程(12)至(14)可写为

$$\begin{cases} \delta_t e_j^{k+\frac{1}{2}} - i \delta_x^2 e_j^{k+\frac{1}{2}} = p(x_j, t_{k+\frac{1}{2}}) \tau^2 + q(x_j, t_{k+\frac{1}{2}}) h^2 + O(\tau^4 + h^4), \\ e_j^0 = 0, e_0^k = e_m^k = 0. \end{cases} \quad (15)$$

对(10)式构造 Crank-Nicolson 格式

$$\begin{cases} \delta_t v_j^{k+\frac{1}{2}} - i \delta_x^2 v_j^{k+\frac{1}{2}} = p(x_j, t_{k+\frac{1}{2}}), \\ v_j^0 = 0, v_0^k = v_m^k = 0, \end{cases} \quad (16)$$

可知

$$v(x_j, t_k) - v_j^k(h, \tau) = O(\tau^2 + h^2). \tag{17}$$

同理,对(11)式构造 Crank-Nicolson 格式

$$\begin{cases} \delta_t \omega_j^{k+\frac{1}{2}} - i \delta_x^2 \omega_j^{k+\frac{1}{2}} = q(x_j, t_{k+\frac{1}{2}}), \\ \omega_j^0 = 0, \omega_0^k = \omega_m^k = 0, \end{cases} \tag{18}$$

可知

$$\omega(x_j, t_k) - \omega_j^k(h, \tau) = O(\tau^2 + h^2). \tag{19}$$

记 $r_j^k = e_j^k - \tau^2 v_j^k - h^2 \omega_j^k$. 将(16)式同乘以 τ^2 , 将(18)式同乘以 h^2 , 并将所得结果和(15)式相减, 得到

$$\begin{cases} \delta_t r_j^{k+\frac{1}{2}} - i \delta_x^2 r_j^{k+\frac{1}{2}} = O(\tau^4 + h^4), \\ r_j^0 = 0, r_0^k = r_m^k = 0. \end{cases}$$

由此可得 $\|r^k\|_\infty = O(\tau^4 + h^4)$, 即 $e_j^k - \tau^2 v_j^k - h^2 \omega_j^k = O(\tau^4 + h^4)$. 利用(17)和(18)式得

$$u(x_j, t_k) - u_j^k(h, \tau) - (\tau^2 v(x_j, t_k) + h^2 \omega(x_j, t_k)) = O(\tau^4 + h^4), \tag{20}$$

同理有

$$u(x_j, t_k) - u_{2j}^{2k}(\frac{h}{2}, \frac{\tau}{2}) - ((\frac{\tau}{2})^2 v(x_j, t_k) + (\frac{h}{2})^2 \omega(x_j, t_k)) = O((\frac{\tau}{2})^4 + (\frac{h}{2})^4). \tag{21}$$

将(21)式两边同乘以 $\frac{4}{3}$, 将(20)式两边同乘以 $\frac{1}{3}$, 并将所得结果相减可得

$$u(x_j, t_k) - (\frac{4}{3} u_{2j}^{2k}(\frac{h}{2}, \frac{\tau}{2}) - \frac{1}{3} u_j^k(h, \tau)) = O(\tau^4 + h^4).$$

定理 2 证毕.

3 数值例子

考虑如下周期初值问题:

$$\begin{cases} \frac{\partial u}{\partial t} = i \frac{\partial^2 u}{\partial x^2} & 0 < x < L, 0 < t < T, \\ u(x, 0) = e^{-\frac{\pi}{4} i} \sin x & 0 < x < L, \\ u(x + 2\pi, t) = u(x, t) & 0 < x < L, 0 < t < T. \end{cases}$$

其精确解为 $u(x, t) = e^{-i(t+\frac{\pi}{4})} \sin x$.

对上述问题利用文中所构造的差分格式和 C-N 格式分别求数值解, 并进行比较. 取 $L = 2\pi, h = 2\pi/64, r = \tau/h^2$, 计算到 $n = 500$ 层.

表 1, 2 分别给出了网格比 r 分别取 $1/2, 2$ 时, 2 种格式的数值计算结果. 表 3 给出了取不同空间步长时, 文中格式与 C-N 格式的最大误差(定义最大误差 E 分别为精确解的实部和虚部减去差分解的实部和虚部取模的最大值)和收敛阶(rate = $\ln(E_1/E_2)/\ln 2$). 图 1—4 分别给出了网格比 r 分别取 $1/2, 2$ 时, 文中格式与 C-N 格式数值解的实部的误差曲线. 计算结果表明, 文中格式达到了 4 阶精度, 而 C-N 格式精度只有 2 阶; 并且当网格比 r 为 $1/2, 2$ 时, 计算均是收敛的, 表明文中格式是无条件稳定的. 这与文中的理论分析结果一致.

表 1 文中格式与 C-N 格式的数值结果比较 ($n=500, r=1/2$)

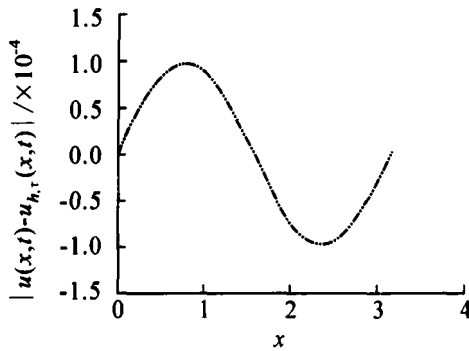
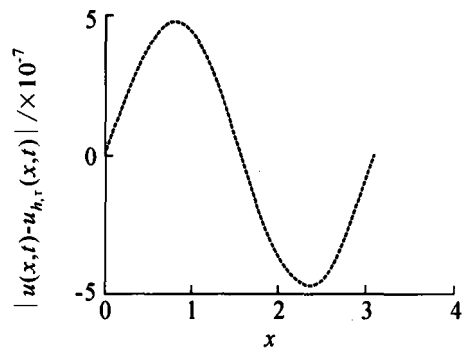
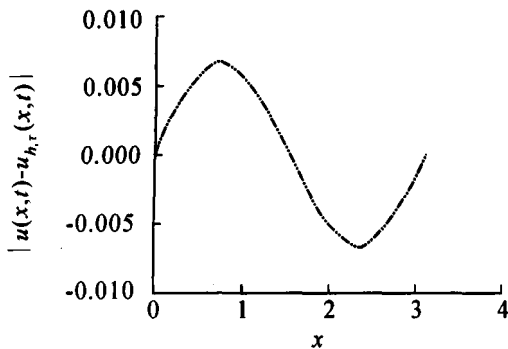
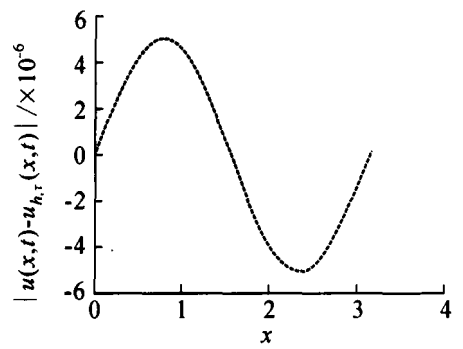
	x			
	$5\pi/32$	$22\pi/32$	$39\pi/32$	$56\pi/32$
文中格式	-0.470 725 59+0.025 149 69i	-0.830 285 82+0.044 360 09i	0.633 490 08-0.033 845 78i	0.706 100 05-0.037 725 15i
精确解	-0.470 725 37+0.025 149 75i	-0.830 285 43+0.044 360 20i	0.633 489 78-0.033 845 87i	0.706 099 71-0.037 725 25i
C-N 格式	-0.470 773 26+0.024 236 79i	-0.830 369 90+0.042 749 88i	0.633 554 22-0.032 617 23i	0.706 171 55-0.036 355 78i

表 2 文中格式与 C-N 格式的数值结果比较 ($n=500, r=2$)

	x			
	$5\pi/32$	$22\pi/32$	$39\pi/32$	$56\pi/32$
文中格式	-0.255 133 03+0.396 390 72i	-0.450 014 49+0.699 170 82i	0.343 351 30-0.533 452 17i	0.382 705 87-0.594 595 90i
精确解	-0.255 130 64+0.396 387 74i	-0.450 010 28+0.699 165 55i	0.343 348 09-0.533 448 15i	0.382 702 28-0.594 591 42i
C-N 格式	-0.258 307 98+0.394 324 57i	-0.455 614 61+0.695 526 45i	0.347 624 07-0.530 671 60i	0.387 468 38-0.591 496 63i

表 3 文中格式与 C-N 格式取不同步长时数值解的最大误差($n=500, r=1/2$)

x	文中格式的最大误差	C-N 格式的最大误差	文中格式的收敛阶	C-N 格式的收敛阶
$2\pi/32$	$1.224e-4$	$7.736e-3$	3.969	1.994
$2\pi/64$	$8.115e-6$	$1.939e-3$	3.915	1.996
$2\pi/128$	$6.297e-7$	$4.885e-4$	3.688	1.989

图 1 当 $r=1/2$ 时 C-N 解的误差曲线图 2 当 $r=1/2$ 时文中格式解的误差曲线图 3 当 $r=2$ 时 C-N 解的误差曲线图 4 当 $r=2$ 时文中格式解的误差曲线

参考文献:

- [1] CHAN T F. Stable Explicit Schemes for Equation of the Schrödinger Type [J]. SIAM J. Numer. Anal., 1986, 23(2): 274-281.
- [2] 曾文平. 高阶 Schrödinger 方程的差分格式 [J]. 应用数学, 1996, 9(4): 523-525.
- [3] 曾文平. 高阶 Schrödinger 方程的哈密顿型蛙跳格式 [J]. 高等学校计算数学学报, 1995, 17(4): 305-317.
- [4] 戴伟忠. 解 Schrödinger 方程的绝对稳定半显式与显式差分格式 [J]. 计算数学, 1989, 11(2): 128-131.
- [5] 金承口. 解 Schrödinger 方程的绝对稳定的三层显格式 [J]. 计算数学, 1990, 12(2): 214-215.
- [6] 孙志忠. 偏微分方程数值解法 [M]. 北京: 科学出版社, 2005.

A High Accuracy Extrapolation Difference Scheme for Solving the Schrödinger Equation

RANA Eskar, ABDIRISHIT Abduwali

(College of Mathematics and System Science, Xinjiang University, Urumchi 830046, China)

Abstract: The Crank-Nicolson scheme is presented for solving Schrödinger equation. The Richardson's extrapolation method is successfully applied to the scheme. Meanwhile, the numerical solution can be gained with accuracy of $O(\tau^4 + h^4)$. This method is shown to be unconditionally stable. The result of numerical experiment shows that the new scheme has higher accuracy than Crank-Nicolson scheme.

Key words: Crank-Nicolson method; Richardson's extrapolation method; Schrödinger equation; truncation error

(责任编辑 向阳洁)